

## Синхронизация автогенератора с дробной обратной связью

В.В. Зайцев, Ар.В. Карлов, Г.П. Яровой

Самарский государственный университет  
443011, Российская Федерация, г. Самара  
ул. Ак. Павлова, 1

Предложена модель автоколебательной системы с дифференциальным уравнением движения дробного порядка, находящейся под действием внешнего гармонического сигнала. Решения уравнения движения, соответствующие режиму установившихся синхронизированных колебаний и режиму биений вблизи полосы синхронизации, получены в квазигармоническом приближении. Проанализированы амплитудно-частотные и фазочастотные характеристики синхронизации дробного осциллятора Ван дер Поля. Установлена аналогия между генератором с дробной цепью обратной связи и генератором с запаздывающей обратной связью.

*Ключевые слова:* дробная динамика, автоколебательные системы, гармоническая линеаризация, фазовая синхронизация.

1. В настоящее время формируется новый раздел теории динамических систем – дробная динамика [1] (в англоязычной литературе – фрактальная динамика [2]). Он охватывает исследования систем с интегро-дифференциальными уравнениями движения дробного порядка.

Учитывая роль осцилляторов в классической динамике, есть все основания рассматривать фрактальный осциллятор как базовую модель дробной динамики. В научной периодике можно найти ряд публикаций, посвященных различным вопросам динамики фрактальных осцилляторов. В частности, в монографии [3] приведены аналитические решения задачи Коши для линейных консервативных осцилляторов. Импульсная характеристика осциллятора с дробным затуханием получена в статье [4]. В работе [5] описан алгоритм численного анализа механического осциллятора с демпфирующей силой, пропорциональной дробной производной от сме-

щения. Ряд ссылок на оригинальные работы по динамике линейных фрактальных осцилляторов содержится также в библиографическом списке монографии [1]. Вместе с тем нелинейные колебательные системы с дифференциальными уравнениями дробного порядка пока исследованы в значительно меньшей степени.

В статье [6] предложена модель автогенератора томсоновского типа с дробной цепью обратной связи (цепью ОС) и проанализированы его колебания в автономном режиме. Настоящая статья посвящена исследованию режима синхронизации дробного автогенератора на основном тоне внешнего гармонического сигнала. В качестве базовой модели автогенератора с нормальными (недробными) связями использован осциллятор Ван дер Поля.

2. Модель дробного автогенератора в [6] основана на предположении о том, что ток активного трехполюсника  $J_a(t)$ , протекающий по первичной обмотке трансформатора ОС (см. рис. 1), возбуждает в его контурной обмотке эдс

$$E_c(t) = \mu \frac{d}{dt} L I^{1-\alpha} [J_a(t)], \quad (1)$$

где левосторонний интеграл Лиувилля порядка  $1 - \alpha$  при  $0 < \alpha < 1$  определяется как

$$L I^{1-\alpha} [J_a(t)] = \frac{1}{\Gamma(1-\alpha)} \int_{-\infty}^t \frac{J_a(\tau)}{(t-\tau)^\alpha} d\tau;$$

$\Gamma(x)$  – гамма-функция аргумента  $x$ . Размерный коэффициент  $\mu$  в дробном дифференциальном

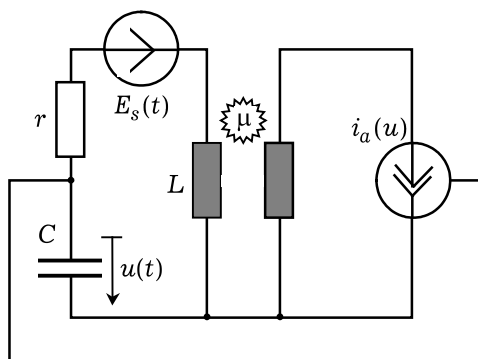


Рис. 1. Эквивалентная схема синхронизированного автогенератора

преобразовании (1) замещает коэффициент взаимоиндукции  $M$  в стандартной модели трансформатора.

С учетом уравнения ОС (1) нетрудно записать полное уравнение движения автогенератора при введении синхронизирующего сигнала  $E_s(t)$  в колебательный контур так, как показано на рис. 1. Относительно переменного напряжения  $u(t)$  на емкости контура оно имеет вид

$$\begin{aligned} \frac{d^2 u}{dt^2} + \frac{\omega_0}{Q} \frac{du}{dt} + \omega_0^2 u &= \\ &= \omega_0^{2-\alpha} g \frac{d}{dt} L I^{1-\alpha} [i_a(u)] + \omega_0^2 E_s(t), \end{aligned} \quad (2)$$

где  $\omega_0$  и  $Q$  – собственная частота и добротность колебательного контура с характеристическим сопротивлением  $Z_0$ . Нелинейная вольт-амперная характеристика (ВАХ) активного элемента в (2) аппроксимируется кубическим полиномом с коэффициентами  $S_0$  (малосигнальная крутизна ВАХ) и  $\beta$  (коэффициент нелинейности):

$$J_a(u) = S_0 i_a(u) = S_0 (1 - \beta u^2) u. \quad (3)$$

Кроме того, при записи уравнения (2) использован безразмерный параметр глубины положительной обратной связи

$$g = \frac{\mu S_0 Z_0}{L \omega_0^{1-\alpha}}.$$

3. Анализ колебаний в осцилляторе (2) проведем в приближении метода эквивалентной (гармонической) линеаризации. Метод широко используется при решении прикладных задач теории нелинейных колебаний [7]. Условия его применимости – высокая добротность резонансной системы и слабая нелинейность активного элемента. Будем считать эти условия для исследуемого осциллятора выполненными.

В соответствии со стандартной процедурой эквивалентной линеаризации в токе (3) при гармоническом сигнале  $u(t) = A \cos(\omega_0 t)$  учитывается лишь первая гармоника колебаний тока  $J_a(u(t))$ :

$$J_a(t) \approx S_0 S_1(A) A \cos(\omega_0 t) = S_0 S_1(A) u(t),$$

где средняя крутизна ВАХ по первой гармонике дается выражением

$$S_1(A) = 1 - \frac{3}{4} \beta A^2. \quad (4)$$

Тогда с учетом того, что

$$L I^{1-\alpha} [\cos(\omega_0 t)] = \frac{1}{\omega_0^{1-\alpha}} \sin\left(\omega_0 t + \alpha \frac{\pi}{2}\right)$$

(см. таблицы интегралов Лиувилля в [8]), нелинейное слагаемое в правой части (2) принимает форму линейного отклика

$$\begin{aligned} \omega_0^{2-\alpha} g \frac{d}{dt} L I^{1-\alpha} [i_a(u)] &= \\ &= -2\omega_0 \Delta\omega(A) u + \frac{\omega_0}{Q_{ex}(A)} \frac{du}{dt}, \end{aligned}$$

с зависящими от амплитуды эквивалентными параметрами

$$\begin{aligned} \frac{1}{Q_{ex}(A)} &= g S_1(A) \sin\left(\alpha \frac{\pi}{2}\right), \\ \Delta\omega &= -\frac{\omega_0}{2} g S_1(A) \cos\left(\alpha \frac{\pi}{2}\right). \end{aligned} \quad (5)$$

Параметры имеют простую физическую интерпретацию:  $Q_{ex}(A)$  – модуль внешней добротности контура,  $\Delta\omega(A)$  – поправка на частоту свободных автоколебаний.

Таким образом, в приближении эквивалентной линеаризации уравнение (2) заменяется уравнением

$$\begin{aligned} \frac{d^2 u}{dt^2} + \omega_0 \left( \frac{1}{Q} - \frac{1}{Q_{ex}(A)} \right) \frac{du}{dt} + \\ + (\omega_0^2 + 2\omega_0 \Delta\omega(A)) u &= \omega_0^2 E_s(t). \end{aligned} \quad (6)$$

При внешнем гармоническом воздействии с амплитудой  $E$  и частотой

$$E_s(t) = E \cos(\omega t),$$

решение уравнения (6) представим в виде

$$u(t) = A(t) \cos(\omega t + \varphi(t)).$$

Амплитуда  $A$  и фаза  $\varphi$  принимают постоянные значения для режима синхронизированных колебаний с частотой внешнего воздействия и являются медленными функциями времени для режима биений вблизи границ области синхронизации. Предполагается, что указанные режимы наблюдаются в осцилляторе с дробной ОС, подобно тому, как это имеет место в классическом осцилляторе Ван дер Поля.

4. В режиме синхронизированных колебаний дифференциальное уравнение движения (6) сводится к системе двух алгебраических уравнений для амплитуды и фазы колебаний:

$$\begin{aligned} \left( \frac{1}{Q} - \frac{1}{Q_{ex}(A)} \right) A &= -E \sin \varphi, \\ 2(\delta\omega(A) - \xi) A &= E \cos \varphi, \end{aligned} \quad (7)$$

в записи которых использованы относительные величины  $\xi = (\omega - \omega_0) / \omega_0$  и

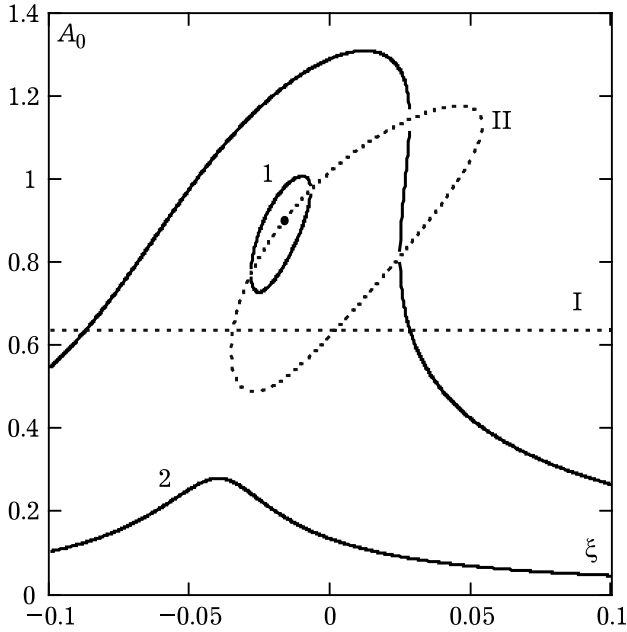


Рис. 2. АЧХ синхронизированного генератора

$$\delta\omega(A) = \frac{\Delta\omega(A)}{\omega_0} = -\frac{1}{2}gS_1(A)\cos\left(\alpha\frac{\pi}{2}\right).$$

После исключения фазы  $\varphi$  система уравнений (7) дает амплитудное уравнение вида

$$\left(\frac{1}{Q} - \frac{1}{Q_{ex}(A)}\right)^2 A^2 + 4(\delta\omega(A) - \xi)^2 A^2 = E^2$$

или, с учетом (5), вида

$$\begin{aligned} &\left(\frac{1}{Q} - gS_1(A)\sin\left(\alpha\frac{\pi}{2}\right)\right)^2 A^2 + \\ &+ \left(gS_1(A)\cos\left(\alpha\frac{\pi}{2}\right) + 2\xi\right)^2 A^2 = E^2. \end{aligned} \quad (8)$$

Для средней крутизны (4) это уравнение является кубическим относительно квадрата амплитуды, поэтому в зависимости от расстройки  $\xi$  оно имеет либо один, либо три вещественных корня.

На рис. 2 приведены графики амплитудно-частотных характеристик синхронизированных колебаний, построенные по результатам решения уравнения (8) для системы с параметрами  $\alpha = 0,5$ ,  $Q = 30$  и  $g = 0,12$ . Амплитуды сигналов нормированы на величину  $A_* = 1/\sqrt{\beta}$ . При амплитуде внешнего сигнала  $E = 0,013$  график АЧХ распадается на две ветви: ветвь 1 в форме замкнутой кривой и ветвь 2 резонансной формы. При увеличении амплитуды синхронизации две ветви сливаются в одну – резонансную. На рис. 2 характеристика такого вида построена для  $E = 0,075$ . Результаты исследований (см. ниже) показывают, что устойчивыми являются

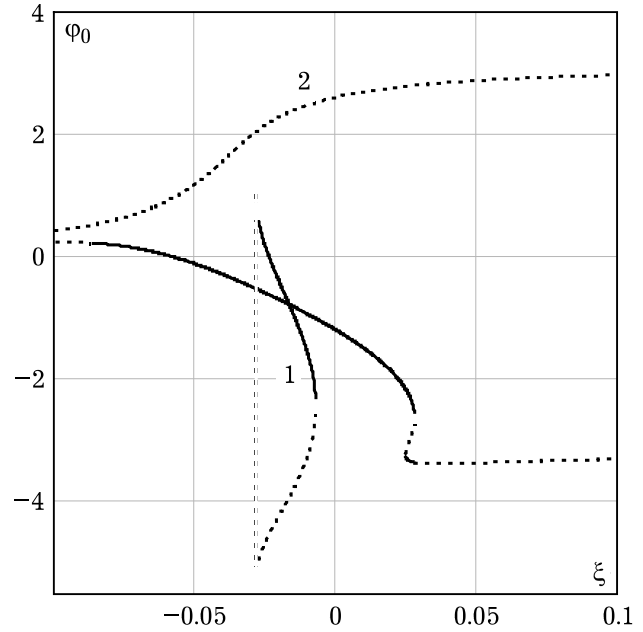


Рис. 3. ФЧХ синхронизированного генератора

части АЧХ, расположенные вне области, ограниченной замкнутой кривой II, и выше прямой линии I. Фазочастотные характеристики, соответствующие АЧХ рис. 2, приведены на рис. 3. Неустойчивые части ФЧХ показаны пунктирными линиями.

Общий вывод о форме частотных характеристик синхронизированного осциллятора Ван дер Поля с дробной ОС – наличие асимметрии относительно частоты свободных автоколебаний. Степень асимметрии увеличивается с уменьшением дробного показателя  $\alpha$ . В этом осциллятор с дробной ОС аналогичен генератору с запаздыванием  $\tau$  в цепи обратной связи [9], удовлетворяющим соотношению  $(1 - \alpha)\pi / 2 = \omega_0 \tau$ .

5. В процессе установления синхронных колебаний и режиме биений амплитуда  $A$  и фаза  $\varphi$  полагаются медленными функциями времени, и для них записывается система укороченных уравнений

$$\begin{aligned} \frac{1}{\omega_0} \frac{dA}{dt} &= -\frac{A}{2} \left( \frac{1}{Q} - gS_1(A)\sin\left(\alpha\frac{\pi}{2}\right) \right) - \frac{E}{2} \sin\varphi, \\ \frac{1}{\omega_0} \frac{d\varphi}{dt} &= -\xi - \frac{1}{2}gS_1(A)\cos\left(\alpha\frac{\pi}{2}\right) - \frac{E}{2A} \cos\varphi. \end{aligned} \quad (9)$$

Уравнения (9) позволяют также исследовать устойчивость стационарных режимов синхронизированных колебаний с амплитудами и фазами, определяемыми решениями уравнений (7). Для этого следует положить

$$A(t) = A_0 + a(t), \quad \varphi(t) = \varphi_0 + \phi(t),$$

где нулевыми индексами обозначены стационарные величины, и линеаризовать уравнения (9) относительно малых вариаций  $a(t)$  и  $\phi(t)$ . Результатом линеаризации является система

$$\frac{1}{\omega_0} \frac{da}{dt} = p_{11}a + p_{12}\phi, \quad \frac{1}{\omega_0} \frac{d\phi}{dt} = p_{21}a + p_{22}\phi \quad (10)$$

с зависящими от амплитуды  $A_0$  коэффициентами

$$\begin{aligned} p_{11}(A_0) &= -\frac{1}{2Q} + \frac{g}{2} \frac{d}{dA_0} (S_1(A_0)A_0) \sin\left(\alpha \frac{\pi}{2}\right), \\ p_{12}(\xi, A_0) &= \xi A_0 + \frac{g}{2} S_1(A_0)A_0 \cos\left(\alpha \frac{\pi}{2}\right), \\ p_{21}(\xi, A_0) &= -\frac{\xi}{A_0} + \frac{g}{2} \frac{d}{dA_0} (S_1(A_0)) - \\ &\quad - \frac{g}{2A_0} S_1(A_0) \cos\left(\alpha \frac{\pi}{2}\right), \\ p_{22}(A_0) &= -\frac{1}{2Q} + \frac{g}{2} S_1(A_0) \sin\left(\alpha \frac{\pi}{2}\right). \end{aligned} \quad (11)$$

Необходимым и достаточным условием релаксации вариаций  $a(t)$  и  $\phi(t)$  к нулевым значениям (условием устойчивости  $A_0$  и  $\phi_0$ ) является выполнение неравенств

$$\begin{aligned} D_I(A_0) &= p_{11}(A_0) + p_{22}(A_0) \leq 0, \\ D_{II}(\xi, A_0) &= p_{12}(\xi, A_0)p_{21}(\xi, A_0) - \\ &\quad - p_{11}(A_0)p_{22}(A_0) \leq 0. \end{aligned} \quad (12)$$

Равенства в (12) соответствуют границам области устойчивости. Они показаны на рис. 2 пунктирными линиями I и II. Граница  $D_I(A_0) = 0$  представляет собой прямую линию, параллельную оси частот, а граница  $D_{II}(\xi, A_0) = 0$  – замкнутую кривую второго порядка. При уменьшении дробного показателя  $\alpha$  кривая размыкается и граница принимает вид наклоненной вправо линии параболического типа.

6. Помимо автогенератора с дробной цепью обратной связи, представляет интерес рассмотрение генератора с дробной линейной диссипативной цепью и уравнением движения вида

$$\begin{aligned} \frac{d^2u}{dt^2} + \frac{\omega_0^{1-\alpha}}{Q} \frac{d}{dt} (L I^{1-\alpha} [u]) + \omega_0^2 u &= \\ = \omega_0 g \frac{di_a(u)}{dt} + \omega_0^2 E_s(t). \end{aligned} \quad (13)$$

Здесь  $Q$  – добротность колебательного контура с нормальной диссипацией, а все остальные переменные и параметры имеют тот же физический смысл, что и в уравнении (2). Описанная выше методика эквивалентной линеаризации уравнения (13) приводит к системе укороченных уравнений

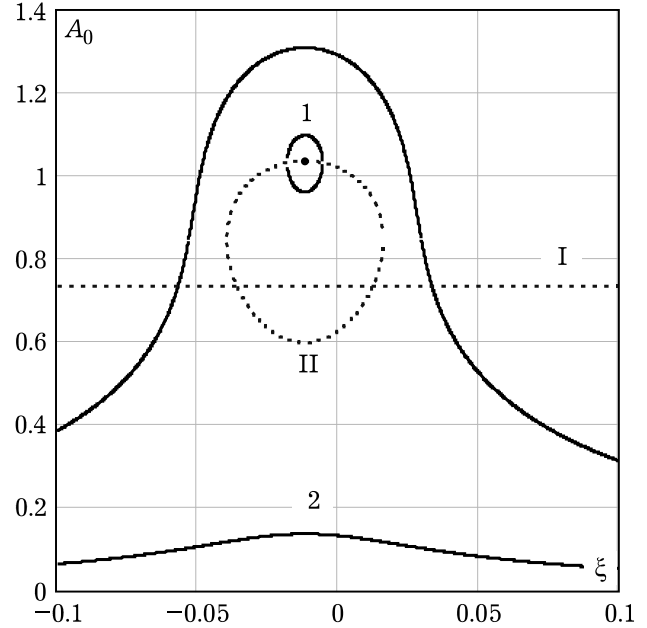


Рис. 4. АЧХ синхронизированного генератора с дробной диссипацией

$$\begin{aligned} \frac{1}{\omega_0} \frac{dA}{dt} &= -\frac{A}{2} \left( \frac{1}{Q} \sin\left(\alpha \frac{\pi}{2}\right) - gS_1(A) \right) - \frac{E}{2} \sin \phi, \\ \frac{1}{\omega_0} \frac{d\phi}{dt} &= -\xi - \frac{1}{2Q} \sin\left(\alpha \frac{\pi}{2}\right) - \frac{1}{2} gS_1(A) - \frac{E}{2A} \cos \phi \end{aligned}$$

и амплитудному уравнению вида

$$\begin{aligned} \left( \frac{1}{Q} \sin\left(\alpha \frac{\pi}{2}\right) - gS_1(A) \right)^2 A^2 + \\ + \left( \frac{1}{Q} \cos\left(\alpha \frac{\pi}{2}\right) + 2\xi \right)^2 A^2 = E^2. \end{aligned} \quad (14)$$

Графики амплитудно-частотных характеристик синхронизации автоколебаний в системе (13), построенные по результатам решения уравнения (14), приведены на рис. 4. Пунктирными линиями показаны границы областей устойчивости стационарных режимов синхронизированных колебаний. Значения параметров АЧХ на рис. 2 и рис. 4 совпадают.

Как следует из рис. 4, частотные характеристики синхронизированных колебаний в генераторе с дробной линейной диссипацией симметричны относительно частоты свободных автоколебаний. Такая симметрия наблюдается и в осцилляторе Ван дер Поля с нормальной диссипацией. Следовательно, дробность линейной диссипации не вносит качественных изменений в характеристики автоколебательной системы.

7. Результаты проведенного анализа позволяют сделать вывод о том, что линейные дробные активно-диссипативные связи в автоколебатель-

ных системах качественно не меняют их динамических характеристик. За счет внесения в схему дополнительных реактивностей они лишь изменяют собственные частоты системы. Качественные изменения в динамике системы возникают тогда, когда дробные связи одновременно являются нелинейными.

### Список литературы

1. Тарасов В.Е. Модели теоретической физики с интегрированием дробного порядка. М.; Ижевск: Ижевский институт компьютерных исследований, 2011. 568 с.
2. Zaslavsky G.M. Hamiltonian Chaos and Fractional Dynamics. Oxford: Oxford University Press, 2005 / Заславский Г.М. Гамильтонов хаос и фрактальная динамика. М.; Ижевск: НИЦ «Регулярная и хаотическая динамика», Ижевский институт компьютерных исследований, 2010. 472 с.
3. Нахушев А.М. Дробное исчисление и его применение. М.: Физматлит, 2003. 272 с.
4. Schafer I., Kempfle S. Impulse responses of fractional damped systems // *Nonlinear Dynamics*. 2004. V. 38. P. 61–68. URL: <http://www.springerlink.com/content/q180440301740421/fulltext.pdf>.
5. Yuan L., Agrawal O.P. A numerical scheme for dynamic systems containing fractional derivatives // *Proc. of ASME Design Engineering Technical Conferences*. Atlanta, 1998. URL: [http://me.engr.siu.edu/MEEP\\_old/faculty/agrawal/mech5857.pdf](http://me.engr.siu.edu/MEEP_old/faculty/agrawal/mech5857.pdf).
6. Зайцев В.В., Карлов Ар.В., Яровой Г.П. Динамика автоколебаний дробного томсоновского осциллятора // *Физика волновых процессов и радиотехнические системы*. 2012. Т. 15. № 1. С. 64–68.
7. Боголюбов Н.Н., Митропольский Ю.А. Асимптотические методы в теории нелинейных колебаний. 4-е изд. М.: Наука, 1974. 504 с.
8. Самко С.Г., Килбас А.А., Маричев О.И. Интегралы и производные дробного порядка и некоторые их приложения. Минск: Наука и техника, 1987. 688 с.
9. Рубаник В.П. Колебания квазилинейных систем с запаздыванием. М.: Наука, 1969. 288 с.

---

## Synchronization of self-oscillator with fractional feedback

*V.V. Zaitsev, Ar.V. Karlov, G.P. Yarovoy*

A model of self-oscillating system with a differential equation of motion of fractional order under the action of an external harmonic signal is proposed. Solutions of the equation of motion which correspond to the regime of steady-state synchronized oscillations and the regime of beats near the synchronization band are obtained in the quasiharmonic approximation. The amplitude frequency and phase-frequency characteristics of synchronization of fractional Van der Pol oscillator are analyzed. An analogy between the generator with a fractional feedback circuit and the generator with delayed feedback is established.

*Keywords:* fractional dynamics, self-oscillations systems, harmonic linearization, phase synchronization.

---